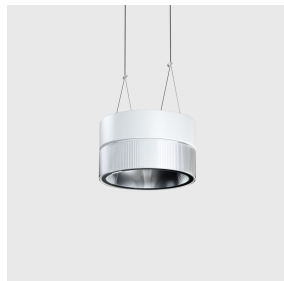


Ultimo aggiornamento delle informazioni: Marzo 2025

**Configurazione di prodotto: RP11.R7**

RP11.R7: Apparecchio a sospensione - Ø234 - UGR &lt; 19 - Bianco/Trasparente/Nero Trasparente

**Codice prodotto**

RP11.R7: Apparecchio a sospensione - Ø234 - UGR &lt; 19 - Bianco/Trasparente/Nero Trasparente

**Descrizione tecnica**

Apparecchio per illuminazione diretta - installazione a sospensione. Sorgente LED ad elevato indice di resa cromatica - emissione a luminanza controllata  $L < 3000 \text{ cd/mq}$  - UGR < 19 - ideale per ambienti con uso di videotermini. Gruppo emittente in PMMA composto da riflettore prismaticizzato trasparente in combinazione con recuperatore di flusso e schermo diffusore - una cover interna in policarbonato definisce visivamente il gruppo ottico. Struttura esterna del corpo luminoso a doppio elemento in alluminio tornito - finitura con verniciatura uniforme o combinata. Il pratico sistema di fissaggio a baionetta permette di separare le due sezioni per eseguire tutte le operazioni preliminari alla sospensione. La parte superiore del corpo luminoso è predisposta per la regolazione in lunghezza, cablaggio e bloccaggio dei cavi di sospensione / alimentazione in dotazione alla basetta accessoria indispensabile per il completamento del prodotto. Unità di alimentazione dimmerabile DALI integrata.

**Installazione**

installazione a sospensione con basetta accessoria da ordinare separatamente.

**Colore**

Bianco/Trasparente/Nero Trasparente (R7)

**Peso (Kg)**

1.84

**Montaggio**

sospeso a soffitto

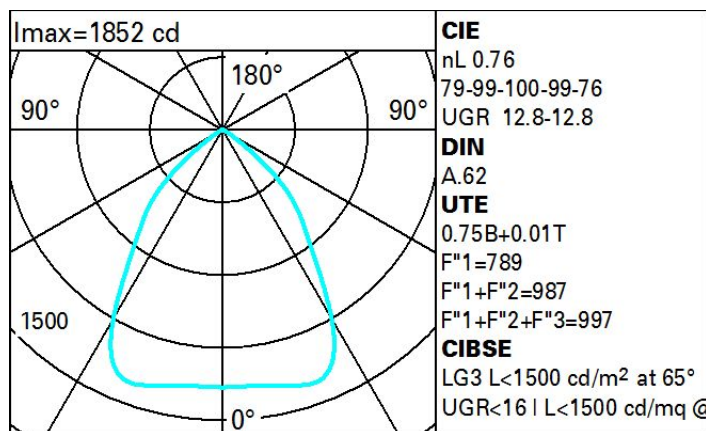
**Cablaggio**

Driver dimmerabile DALI integrato - morsetteria di cablaggio posizionata nella sezione superiore della struttura.

Soddisfa EN60598-1 e relative note

**Dati tecnici**

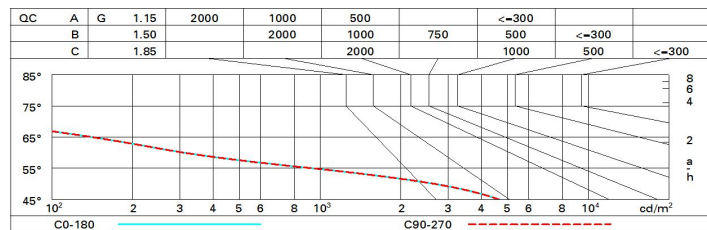
|  |       |                                    |        |
|--|-------|------------------------------------|--------|
| Im di sistema:                               | 2926  | CRI (minimo):                      | 90     |
| W di sistema:                                | 26    | Temperatura colore [K]:            | 3500   |
| Im di sorgente:                              | 3850  | MacAdam Step:                      | 2      |
| W di sorgente:                               | 26    | Codice lampada:                    | LED    |
| Efficienza luminosa (lm/W, dati di sistema): | 112.5 | Numero di lampade per vano ottico: | 1      |
| Im in modalità emergenza:                    | -     | Codice ZVEI:                       | LED    |
| Flusso totale emesso a 90° o superiore [Lm]: | 23    | Numero di vani ottici:             | 1      |
| Light Output Ratio (L.O.R.) [%]:             | 76    | Control:                           | DALI-2 |

**Polare**

# Coefficienti di utilizzazione

| R    | 77 | 75 | 73 | 71 | 55 | 53 | 33 | 00 | DRR |
|------|----|----|----|----|----|----|----|----|-----|
| K0.8 | 61 | 55 | 52 | 49 | 55 | 51 | 51 | 47 | 63  |
| 1.0  | 65 | 60 | 57 | 54 | 59 | 56 | 56 | 52 | 69  |
| 1.5  | 71 | 67 | 65 | 62 | 66 | 64 | 63 | 60 | 79  |
| 2.0  | 74 | 71 | 69 | 67 | 70 | 68 | 67 | 64 | 85  |
| 2.5  | 76 | 74 | 72 | 71 | 73 | 71 | 70 | 67 | 89  |
| 3.0  | 77 | 76 | 74 | 73 | 74 | 73 | 72 | 69 | 92  |
| 4.0  | 78 | 77 | 76 | 75 | 76 | 75 | 73 | 71 | 94  |
| 5.0  | 79 | 78 | 77 | 76 | 76 | 76 | 74 | 72 | 95  |

## Curva limite di luminanza



## Diagramma UGR

| Corrected UGR values (at 3850 lm bare lamp luminous flux)    |      |                     |      |      |      |      |                   |      |      |      |      |
|--|------|---------------------|------|------|------|------|-------------------|------|------|------|------|
| Reflect.:<br>ceiling<br>walls<br>work pl.<br>Room dim<br>x y |      | viewed<br>crosswise |      |      |      |      | viewed<br>endwise |      |      |      |      |
| 2H   | 2H   | 13.4                | 14.2 | 13.7 | 14.4 | 14.7 | 13.4              | 14.2 | 13.7 | 14.4 | 14.7 |
|  | 3H   | 13.2                | 14.0 | 13.6 | 14.2 | 14.6 | 13.3              | 14.0 | 13.6 | 14.3 | 14.6 |
|  | 4H   | 13.2                | 13.8 | 13.5 | 14.1 | 14.5 | 13.2              | 13.9 | 13.5 | 14.2 | 14.5 |
|  | 6H   | 13.1                | 13.7 | 13.5 | 14.0 | 14.4 | 13.1              | 13.7 | 13.5 | 14.1 | 14.4 |
|  | 8H   | 13.1                | 13.6 | 13.4 | 14.0 | 14.3 | 13.1              | 13.7 | 13.5 | 14.0 | 14.4 |
|  | 12H  | 13.0                | 13.6 | 13.4 | 13.9 | 14.3 | 13.0              | 13.6 | 13.4 | 13.9 | 14.3 |
| 4H   | 2H   | 13.2                | 13.9 | 13.5 | 14.2 | 14.5 | 13.2              | 13.8 | 13.5 | 14.1 | 14.5 |
|  | 3H   | 13.0                | 13.6 | 13.4 | 14.0 | 14.3 | 13.0              | 13.6 | 13.4 | 14.0 | 14.3 |
|  | 4H   | 13.0                | 13.4 | 13.4 | 13.8 | 14.2 | 13.0              | 13.4 | 13.4 | 13.8 | 14.2 |
|  | 6H   | 12.9                | 13.3 | 13.3 | 13.7 | 14.2 | 12.9              | 13.3 | 13.3 | 13.7 | 14.1 |
|  | 8H   | 12.8                | 13.2 | 13.3 | 13.6 | 14.1 | 12.8              | 13.2 | 13.3 | 13.6 | 14.1 |
|  | 12H  | 12.8                | 13.1 | 13.3 | 13.6 | 14.1 | 12.8              | 13.1 | 13.2 | 13.6 | 14.1 |
| 8H   | 4H   | 12.8                | 13.2 | 13.3 | 13.6 | 14.1 | 12.8              | 13.2 | 13.3 | 13.6 | 14.1 |
|  | 6H   | 12.7                | 13.1 | 13.2 | 13.5 | 14.0 | 12.7              | 13.1 | 13.2 | 13.5 | 14.0 |
|  | 8H   | 12.7                | 13.0 | 13.2 | 13.4 | 14.0 | 12.7              | 13.0 | 13.2 | 13.4 | 14.0 |
|  | 12H  | 12.6                | 12.9 | 13.2 | 13.4 | 13.9 | 12.6              | 12.9 | 13.2 | 13.4 | 13.9 |
| 12H  | 4H   | 12.8                | 13.1 | 13.2 | 13.6 | 14.1 | 12.8              | 13.1 | 13.3 | 13.6 | 14.1 |
|  | 6H   | 12.7                | 13.0 | 13.2 | 13.4 | 14.0 | 12.7              | 13.0 | 13.2 | 13.4 | 14.0 |
|  | 8H   | 12.6                | 12.9 | 13.2 | 13.4 | 13.9 | 12.6              | 12.9 | 13.2 | 13.4 | 13.9 |
| Variations with the observer position at spacing:            |      |                     |      |      |      |      |                   |      |      |      |      |
| S =  | 1.0H | 2.0 / -0.9          |      |      |      |      | 2.0 / -0.9        |      |      |      |      |
|  | 1.5H | 4.3 / -13.4         |      |      |      |      | 4.3 / -13.4       |      |      |      |      |
|  | 2.0H | 6.3 / -16.6         |      |      |      |      | 6.3 / -16.6       |      |      |      |      |